

## ПРИМЕНЕНИЕ МЕТОДА ХОРИ–ДЕПРИ К ИССЛЕДОВАНИЮ КОСМОГОНИЧЕСКОЙ ЭВОЛЮЦИИ СЛАБОВОЗМУЩЕННЫХ ПЛАНЕТНЫХ СИСТЕМ

© 2022 г. Д. В. Микрюков<sup>1\*</sup>, И. А. Баляев<sup>1</sup>

<sup>1</sup>Санкт-Петербургский государственный университет, Санкт-Петербург, Россия

Поступила в редакцию 09.02.2022 г.

После доработки 09.02.2022 г.; принята к публикации 02.03.2022 г.

Методом осреднения Хори–Депри изучается динамическая эволюция нерезонансных двухпланетных систем, структура которых близка к круговой и компланарной. Используются астроцентрические координаты Пуанкаре и комплексная форма второй системы канонических элементов Пуанкаре. Осреднение уравнений выполнено до второго порядка по планетным массам. Осредненная система проинтегрирована на примере одной модельной двухпланетной системы и на примере реальной двухпланетной системы HD 12661. Выполнено сравнение построенного решения с решением осредненной системы первого приближения, а также с решением точных уравнений движения в прямоугольных координатах. В случае обеих планетных систем показано, что второе приближение лучше согласуется с решением точных уравнений. Период колебаний эксцентриситетов в системе HD 12661, согласно точным уравнениям, уравнениям второго приближения и уравнениям первого приближения, равен соответственно 26 175, 26 309 лет и 26 391 год.

*Ключевые слова:* планетная задача, долговременная орбитальная эволюция, экзопланеты, HD 12661, метод осреднения, метод Хори–Депри, координаты Пуанкаре, канонические элементы Пуанкаре, возмущающая функция, гамильтониан, ряды Пуассона, коэффициенты Лапласа, численное интегрирование.

DOI: 10.31857/S0320010822030044

### ВВЕДЕНИЕ И ПОСТАНОВКА ЗАДАЧИ

В настоящей работе мы продолжаем изучать долговременную динамическую эволюцию планетных систем типа Солнечной с помощью численно-аналитических методов, основанных на методе осреднения. В нашей предыдущей статье (Микрюков, 2020), посвященной этой теме, мы рассматривали орбитальную эволюцию нерезонансных планетных систем в рамках теории первого порядка по планетным массам. Здесь мы перейдем к изучению эволюции нерезонансных систем, определяемой теорией второго порядка. В первой работе (Микрюков, 2020) подробно описана общая методика исследования, определены координаты Пуанкаре и используемые оскулирующие элементы, представлено разложение функции Гамильтона в ряд Пуассона по всем элементам, на примерах двухпланетных и трехпланетных систем проинтегрирована осредненная система первого приближения.

Осреднение уравнений в оскулирующих элементах мы выполняем методом Хори–Депри (Депри, 1969; Джакалья, 1979; Маркеев, 1978; Морбиделли, 2014; Найфе, 1976; Холшевников, 1985; Хори, 1966). Основной аналитический аппарат, с помощью которого строятся интегрируемые нами осредненные уравнения, разработан и описан в работах Д.В. Микрюкова в 2016, 2018, 2021 гг. в настоящем журнале. Для кеплеровых элементов используем прежние обозначения:  $a$ ,  $e$ ,  $i$ ,  $M$ ,  $g$ ,  $\Omega$  — это соответственно большая полуось, эксцентриситет, наклонение, средняя аномалия, аргумент перицентра и долгота восходящего узла. Чертой сверху обозначается комплексное сопряжение. Для любого комплексного  $\varphi$  положим  $\text{Exr}\varphi = e^{\text{exr}\varphi}$ , где  $i$  — мнимая единица. Основными единицами измерения в работе являются масса Солнца, астрономическая единица и сидерический земной год; гравитационная постоянная  $\mathcal{G} = 4\pi^2$ .

В следующем разделе рассматриваются основные практические аспекты построения осредненных уравнений второго приближения. Далее мы

\*Электронный адрес: d.mikryukov@spbu.ru

выполняем интегрирование этих уравнений на примерах двух двухпланетных систем и сравниваем полученные результаты с решением системы первого приближения, а также с решением точных уравнений в прямоугольных координатах. В заключение статьи обсуждаются результаты.

Перед записью и исследованием уравнений второго приближения изложим коротко опорные теоретические результаты предыдущей работы (Микрюков, 2020). В абсолютной инерциальной системе отсчета с началом в точке  $O$  рассматривается движение  $N + 1$  материальных точек  $Q_0, \dots, Q_N$ , имеющих массы соответственно  $M_0, \dots, M_N$ . Предполагается, что  $N \geq 2$  и что расстояние между двумя любыми точками всегда остается больше некоторого положительного числа (бесстолкновительное конфигурационное пространство). Исключение центра инерции осуществляется путем перехода в систему координат Пуанкаре по формулам

$$\mathbf{r}_0 = \frac{1}{\widetilde{M}} \sum_{k=0}^N M_k \boldsymbol{\rho}_k, \quad \mathbf{P}_0 = \sum_{k=0}^N \boldsymbol{\Pi}_k, \quad (1)$$

$$\mathbf{r}_j = \boldsymbol{\rho}_j - \boldsymbol{\rho}_0, \quad \mathbf{P}_j = \boldsymbol{\Pi}_j - \frac{M_j}{\widetilde{M}} \sum_{k=0}^N \boldsymbol{\Pi}_k,$$

$$1 \leq j \leq N.$$

Здесь  $\widetilde{M} = \sum_{k=0}^N M_k$ ,  $\boldsymbol{\Pi}_s = M_s \dot{\boldsymbol{\rho}}_s$ , а векторы  $\boldsymbol{\rho}_s$  задают положение точек относительно начала  $O$ . Определим малый параметр

$$\mu = \max_{1 \leq s \leq N} \frac{M_s}{M_0},$$

представляющий собой отношение массы самой массивной из “планет”  $Q_1, \dots, Q_N$  к массе “Солнца”  $Q_0$ . После замены переменных

$$\mathbf{p}_s = \mathbf{P}_s / \mu, \quad 1 \leq s \leq N,$$

и введения обозначений  $m_0 = M_0$ ,

$$m_s = \frac{M_s}{\mu}, \quad \beta_s = \frac{m_0 m_s}{m_0 + \mu m_s},$$

$$\varkappa_s^2 = \mathcal{G}(m_0 + \mu m_s) \quad (\varkappa_s > 0), \quad 1 \leq s \leq N,$$

гамильтониан  $h$  записывается в виде суммы невозмущенной и малой возмущающей частей:

$$h = h_0 + \mu h_1, \quad (2)$$

где

$$h_0 = \sum_{s=1}^N h_{0s}, \quad h_{0s} = \frac{\mathbf{p}_s^2}{2\beta_s} - \frac{\varkappa_s^2 \beta_s}{r_s}, \quad (3)$$

$$r_s = |\mathbf{r}_s|, \quad h_1 = \sum_{1 \leq j < k \leq N} \left( -\frac{\mathcal{G} m_j m_k}{|\mathbf{r}_j - \mathbf{r}_k|} + \frac{\mathbf{p}_j \mathbf{p}_k}{m_0} \right).$$

При  $h = h_0$  уравнения движения

$$\dot{\mathbf{r}}_s = \frac{\partial h}{\partial \mathbf{p}_s}, \quad \dot{\mathbf{p}}_s = -\frac{\partial h}{\partial \mathbf{r}_s}, \quad 1 \leq s \leq N, \quad (4)$$

распадаются на  $N$  независимых задач одного притягивающего центра:

$$\ddot{\mathbf{r}}_s + \varkappa_s^2 \frac{\mathbf{r}_s}{r_s^3} = 0, \quad 1 \leq s \leq N, \quad (5)$$

каждая из которых порождается гамильтонианом  $h_{0s}$  и определяет положение  $\mathbf{r}_s$  и скорость  $\mathbf{p}_s / \beta_s$  точки массы  $\beta_s$  в ее движении относительно неподвижной точки массы  $M_0 + M_s$ .

Используемой системой оскулирующих элементов является комплексная форма канонических элементов Пуанкаре (Ласкар, Робютель, 1995; Микрюков, Холшевников, 2016)

$$P = X \sqrt{\Lambda/2}, \quad p = -i\bar{P}, \quad (6)$$

$$Q = Y \sqrt{2\Lambda}, \quad q = -i\bar{Q},$$

$$\Lambda = \beta \varkappa \sqrt{a}, \quad \lambda = M + g + \Omega.$$

Выражение  $X, Y$  через кеплеровы элементы приведено в формуле (7) работы Микрюкова (2020). В формулах (6) все переменные снабжаются одним и тем же индексом  $s$ , равным номеру планеты ( $1 \leq s \leq N$ ); планеты нумеруются в порядке удаления от звезды. Далее во всех случаях, в которых не могут возникнуть недоразумения, мы будем также опускать планетную индексацию. Поскольку кеплерова часть

$$h_0 = -\sum_{s=1}^N \frac{\varkappa_s^4 \beta_s^3}{2\Lambda_s^2}$$

гамильтониана (2) зависит лишь от аналогов больших полуосей  $\Lambda_s$ ,  $1 \leq s \leq N$ , уравнения движения в канонических элементах (6) принимают вид

$$\dot{P} = -\mu \frac{\partial h_1}{\partial p}, \quad \dot{p} = \mu \frac{\partial h_1}{\partial P}, \quad \dot{Q} = -\mu \frac{\partial h_1}{\partial q},$$

$$\dot{q} = \mu \frac{\partial h_1}{\partial Q}, \quad \dot{\Lambda} = -\mu \frac{\partial h_1}{\partial \Lambda}, \quad \dot{\lambda} = \omega + \mu \frac{\partial h_1}{\partial \lambda}.$$

Здесь  $\omega = \partial h_0 / \partial \Lambda = \varkappa^4 \beta^3 \Lambda^{-3} = \varkappa a^{-3/2}$ . Если  $h = h_0$ , то медленные переменные  $P, Q, \Lambda, p, q$  остаются, очевидно, постоянными с течением времени.

### УРАВНЕНИЯ ДВИЖЕНИЯ В СРЕДНИХ ЭЛЕМЕНТАХ

Теория второго порядка по планетным массам определяется осредненными уравнениями второго приближения

$$\dot{X} = \frac{-2i}{\Lambda} \left( \mu \frac{\partial H_1}{\partial \bar{X}} + \mu^2 \frac{\partial H_2}{\partial \bar{X}} \right), \quad (7)$$

$$\dot{Y} = \frac{-i}{2\Lambda} \left( \mu \frac{\partial H_1}{\partial \bar{Y}} + \mu^2 \frac{\partial H_2}{\partial \bar{Y}} \right).$$

Необходимые для составления этих уравнений коэффициенты  $H_1$  и  $H_2$  разложения осредненного гамильтониана

$$H = H_0 + \mu H_1 + \mu^2 H_2 + \dots \quad (8)$$

находятся по формулам

$$H_1 = \langle h_1 \rangle, \quad H_2 = \langle \{T_1, h_1 + H_1\} \rangle / 2, \quad (9)$$

$$T_1 = \tilde{h}_1.$$

Здесь  $T_1$  — первый коэффициент разложения производящей функции метода Хори–Депри

$$T = \mu T_1 + \mu^2 T_2 + \dots, \quad (10)$$

фигурные скобки обозначают скобку Пуассона по системе элементов (6), а волной сверху и угловыми скобками обозначены соответственно интегрирующий оператор и оператор взятия среднего значения (см. раздел 4 в Микрюков, 2020). В формулах (8)–(10) все функции зависят от средних элементов. На практике оказывается эффективным следующее простое свойство оператора взятия среднего значения:

$$\langle f_1 + f_2 + \dots + f_k \rangle = \langle f_1 \rangle + \langle f_2 \rangle + \dots + \langle f_k \rangle. \quad (11)$$

В (11) предполагается, что все  $f_s$  зависят от основных элементов (6) и что существуют средние значения  $\langle f_s \rangle$ .

В работе Микрюкова (2020) мы рассматривали теорию первого порядка по планетным массам. В основу этой теории была положена система уравнений первого приближения, которую можно получить из уравнений (7), опустив в скобках слагаемые, пропорциональные  $\mu^2$ . Система первого приближения легко составляется для любого числа планет и поэтому в работе Микрюкова (2020) были рассмотрены и проинтегрированы примеры двухпланетных и трехпланетных систем. Задача построения системы второго приближения (7) является существенно более трудоемкой, так как для получения  $H_2$  требуется вычислять скобку Пуассона функций  $T_1$  и  $h_1 + H_1$ . Трудоемкость, очевидно, быстро возрастает с ростом числа планет  $N$ . В связи с этим в настоящей работе мы ограничимся изучением и решением уравнений (7) лишь на примерах двухпланетных систем. В многопланетном случае ( $N \geq 3$ ) все выкладки, связанные с получением  $H_2$ , становятся более громоздкими и требующими значительно большего времени машинного счета, но принципиально новых деталей в их построении не появляется (Микрюков, 2018).

Разложения величин  $H_1$  и  $H_2$  строятся на основе пуассоновского разложения возмущающей

функции  $h_1$ . При произвольном  $N \geq 2$  возмущающая функция  $h_1$  зависит сложным образом от всех  $6N$  фазовых переменных (6). В случае  $N = 2$  функция  $h_1$  принимает вид

$$h_1 = \mathcal{R} + \mathcal{V}. \quad (12)$$

Главная  $\mathcal{R}$  и дополнительная  $\mathcal{V}$  части определяются равенствами

$$\mathcal{R} = -\frac{\mathcal{G}m_1m_2}{|\mathbf{r}_1 - \mathbf{r}_2|}, \quad \mathcal{V} = \frac{\mathbf{p}_1\mathbf{p}_2}{m_0}$$

и разлагаются в ряд Пуассона:

$$\mathcal{R} = \frac{\sigma}{\Lambda_2^2} \sum_{\mathbb{K}} C_{\ell\nu n} (XY)^{\ell\nu} \text{Exp}(n\lambda), \quad (13)$$

$$\mathcal{V} = \frac{\tau}{\Lambda_1\Lambda_2} \sum_{\mathbb{K}_1} I_{\ell\nu n} (XY)^{\ell\nu} \text{Exp}(n\lambda).$$

Здесь используются обозначения

$$\sigma = -\mathcal{G}m_1m_2\kappa_2^2\beta_2^2, \quad \tau = (\kappa_1\kappa_2\beta_1\beta_2)^2/m_0,$$

$$(XY)^{\ell\nu} = X_1^{\ell_1} X_2^{\ell_2} Y_1^{\ell_3} Y_2^{\ell_4} \bar{X}_1^{v_1} \bar{X}_2^{v_2} \bar{Y}_1^{v_3} \bar{Y}_2^{v_4},$$

$$n\lambda = n_1\lambda_1 + n_2\lambda_2;$$

десятимерные множества суммирования  $\mathbb{K}$  и  $\mathbb{K}_1$  определены в разделе 3 работы Микрюкова (2020). Вещественные и безразмерные коэффициенты

$$C_{\ell\nu n} = C_{\ell_1\ell_2\ell_3\ell_4v_1v_2v_3v_4n_1n_2}(\alpha), \quad \alpha = a_1/a_2,$$

$$I_{\ell\nu n} = I_{\ell_1\ell_2\ell_3\ell_4v_1v_2v_3v_4n_1n_2}$$

рядов (13) можно свободно скачать из базы данных Mendeley Data по ссылке

<http://dx.doi.org/10.17632/3cb75grjz4.1>.

При  $N = 2$  степенные разложения

$$H_1 = \sum_{\mathbb{K}_0} Z_{\ell\nu}^{(1)} (XY)^{\ell\nu}, \quad (14)$$

$$H_2 = \sum_{\mathbb{K}_0} Z_{\ell\nu}^{(2)} (XY)^{\ell\nu}$$

формально имеют один и тот же вид<sup>1</sup> и отличаются лишь коэффициентами  $Z_{\ell\nu}^{(1)}$  и  $Z_{\ell\nu}^{(2)}$ . Восьмимерное множество суммирования  $\mathbb{K}_0$  определено в разделе 5 работы Микрюкова (2020). Основные теоретические стороны получения разложений (14) были описаны в работе Микрюкова (2018). Рассмотрим сейчас наиболее важные практические аспекты построения этих разложений.

Для изложения этих аспектов удобно предварительно ввести некоторые обозначения. Для

<sup>1</sup>В общем случае  $N \geq 2$  каждое слагаемое разложения  $H_1$  по степеням  $X, \bar{X}, Y, \bar{Y}$  зависит от элементов лишь двух планет, но в разложении  $H_2$  уже появляются слагаемые, зависящие от элементов трех и четырех (но не более) планет (см. подробности в работе Микрюкова, 2018).

всех двенадцати фазовых переменных (6) введем сплошную нумерацию

$$(\epsilon_1, \epsilon_2, \dots, \epsilon_{12}) = (P_1, P_2, Q_1, Q_2, \Lambda_1, \Lambda_2, p_1, p_2, q_1, q_2, \lambda_1, \lambda_2). \quad (15)$$

Согласно (15), имеем, например,  $\epsilon_3 = Q_1$ ,  $\epsilon_7 = p_1$ ,  $\epsilon_{11} = \lambda_1$ . Положим далее  $\Psi_1 = h_1 + H_1$ ,  $\Phi_2 = \{T_1 \Psi_1\}/2$ , откуда, согласно (9), получаем

$$H_2 = \langle \{T_1 \Psi_1\} \rangle / 2 = \langle \Phi_2 \rangle.$$

Для любого натурального  $s$ ,  $1 \leq s \leq 6$ , введем обозначения

$$\gamma_{s,s+6} = \frac{\partial T_1}{\partial \epsilon_s} \frac{\partial \Psi_1}{\partial \epsilon_{s+6}}, \quad \gamma_{s+6,s} = \frac{\partial T_1}{\partial \epsilon_{s+6}} \frac{\partial \Psi_1}{\partial \epsilon_s}, \quad (16)$$

позволяющие для  $H_2$  записать представление

$$H_2 = \frac{1}{2} \left\langle \sum_{s=1}^6 (\gamma_{s,s+6} - \gamma_{s+6,s}) \right\rangle. \quad (17)$$

Итак, сначала рассмотрим основные особенности и отличия, которые возникают при нахождении коэффициентов  $Z_{\ell v}^{(1)}$  и  $Z_{\ell v}^{(2)}$  рядов (14). Коэффициенты  $Z_{\ell v}^{(1)}$  разложения  $H_1 = \langle h_1 \rangle = \langle \mathcal{R} + \mathcal{V} \rangle$  вычисляются просто, так как они могут храниться в машинной памяти в *символьном* виде. В самом деле,  $\langle \mathcal{V} \rangle = 0$ , так что в силу (13) имеем

$$Z_{\ell v}^{(1)} = \frac{\sigma}{\Lambda_2^2} C_{\ell v 00}. \quad (18)$$

Формула (18) показывает, что коэффициенты разложения  $H_1$  простым аналитическим образом выражаются через массы и большие полуоси планет. Коэффициенты же  $Z_{\ell v}^{(2)}$  зависят от больших полуосей и масс планет очень сложным образом, и поэтому хранить их в символьном виде уже не представляется возможным. В случае каждой конкретной планетной системы величины  $Z_{\ell v}^{(2)}$  нужно вычислять и хранить в машинной памяти уже в *числовом* виде. Сложность вычисления  $Z_{\ell v}^{(2)}$  обусловлена в первую очередь тем, что ряды Пуассона, в которые разлагаются частные производные

$$\frac{\partial T_1}{\partial \epsilon_s}, \quad \frac{\partial \Psi_1}{\partial \epsilon_s}, \quad 1 \leq s \leq 12, \quad (19)$$

являются (двойными) рядами Фурье по средним долготам  $\lambda_1$  и  $\lambda_2$ . Перемножение этих рядов в (16) приводит к тому, что в образовании каждого коэффициента  $Z_{\ell v}^{(2)}$  ряда  $H_2$  участвует бесконечное число коэффициентов разложения функций (19) (см. подробности в Микрюков, 2018). На практике пуассоновские разложения величин (19) усекаются до конечных многочленов, однако в образовании каждого коэффициента  $Z_{\ell v}^{(2)}$  участвует все равно

очень большое количество коэффициентов разложения производных (19), и компактного аналитического представления для величин  $Z_{\ell v}^{(2)}$  получить невозможно.

Далее, каждый член разложения  $H_2$  (как и разложения  $H_1$ ) имеет четную степень по совокупности переменных  $X, \bar{X}, Y, \bar{Y}$  (Микрюков, 2018, 2020). Если требуется построить разложение  $H_2$  до степени  $d$  включительно по этим элементам (здесь  $d$  — четное натуральное), то возникает следующий (не совсем очевидный) вопрос. До какой степени по  $X, \bar{X}, Y, \bar{Y}$  необходимо разлагать функции  $T_1$  и  $\Psi_1$ , участвующие в получении  $H_2 = \langle \{T_1 \Psi_1\} \rangle / 2$ ? С помощью (16) легко заключить, что  $T_1$  и  $\Psi_1$  нужно разлагать до степени  $d + 1$  включительно. В самом деле, при вычислении производных (19) функции  $T_1$  и  $\Psi_1$  представляются многочленами по  $X, \bar{X}, Y, \bar{Y}$ , а дифференцирование по эксцентрическим и облическим элементам, очевидно, понижает степень этих многочленов на единицу. Например, если разложение  $H_2$  строится до четвертой степени включительно по  $X, \bar{X}, Y, \bar{Y}$ , то разложение исходной определяемой формулами (12) и (13) возмущающей функции  $h_1$  необходимо построить до пятой степени включительно (с тем, чтобы получить разложения  $T_1 = \tilde{h}_1$  и  $\Psi_1 = h_1 + \langle h_1 \rangle$  до пятой степени включительно).

Правые части системы первого приближения строятся на основе разложения величины  $H_1$ . Удобная для применения машинных алгоритмов интегрирования схема этого построения рассмотрена в разделе 5 работы Микрюкова (2020). Приведем теперь близкую к оптимальной схему машинного получения величины  $H_2$ . На практике эффективность этой схемы заключается в экономном использовании имеющейся в распоряжении оперативной памяти. Эта схема опирается на свойство (11) осредняющего оператора и заключается в том, что  $H_2 = \langle \Phi_2 \rangle$  можно вычислять по формуле

$$H_2 = \frac{1}{2} \sum_{s=1}^6 (\langle \gamma_{s,s+6} \rangle - \langle \gamma_{s+6,s} \rangle). \quad (20)$$

На практике получение  $H_2$  с помощью (20) имеет преимущество перед вычислением  $H_2$  по формуле (17). Дело в том, что в разложениях величин

$$\gamma_{s,s+6}, \quad \gamma_{s+6,s}, \quad 1 \leq s \leq 6, \quad (21)$$

содержится гораздо больше слагаемых, чем в разложениях соответствующих средних значений

$$\langle \gamma_{s,s+6} \rangle, \quad \langle \gamma_{s+6,s} \rangle, \quad 1 \leq s \leq 6. \quad (22)$$

Формула (20) показывает, что для получения  $\langle \Phi_2 \rangle$  функции (22) можно вычислять последовательно.

**Таблица 1.** Значения массовых параметров в двухпланетных системах HD 12661 (Родригес, Галлардо, 2005) и СВЗ (Кочетова и др., 2019)

Система	$\mu$	$m_0$	$m_1$	$m_2$
HD 12661	$2.079 \times 10^{-3}$	1.07	1.07	0.8404
СВЗ	$3.0404 \times 10^{-6}$	1	0.8051	1

Именно, сначала вычисляется  $\gamma_{17}$ , после чего из  $\gamma_{17}$  сразу же извлекается среднее значение

$$\langle \gamma_{17} \rangle = \left\langle \frac{\partial T_1}{\partial P_1} \frac{\partial \Psi_1}{\partial p_1} \right\rangle.$$

После получения  $\langle \gamma_{17} \rangle$  оперативную память можно очистить от многочлена, представляющего  $\gamma_{17}$ , так как он больше не нужен для получения  $\langle \Phi_2 \rangle$ . Далее таким же образом последовательно вычисляются остальные одиннадцать величин  $\langle \gamma_{71} \rangle$ ,  $\langle \gamma_{s,s+6} \rangle$ ,  $\langle \gamma_{s+6,s} \rangle$ ,  $2 \leq s \leq 6$ . Подстановка полученных средних значений (22), в каждом из которых содержится относительно небольшое количество слагаемых, в представление (20) дает требуемое  $\langle \Phi_2 \rangle$ . Применение же формулы (17) для получения  $H_2$  требует от оперативной памяти одновременной работы с целыми многочленами (21), а не с их гораздо более мелкими частями (22).

### ИНТЕГРИРОВАНИЕ ОСРЕДНЕННЫХ УРАВНЕНИЙ

В работе Микрюкова (2020) были рассмотрены три двухпланетные системы: HD 12661, двухпланетное приближение системы  $v$  Andromedae (планеты  $c$  и  $d$ ), а также модельная двухпланетная система, состоящая из звезды солнечной массы и двух обращающихся около нее планет с массами и орбитальными элементами Венеры и Земли. В первых двух планетных системах малый параметр  $\mu$  имеет порядок  $10^{-3}$ , а в третьей  $\mu \sim 10^{-6}$ . В настоящей работе будет продолжено исследование только системы HD 12661 и модельной двухпланетной системы, которую мы далее будем для краткости называть системой СВЗ. В табл. 1 приведены массовые параметры для обеих систем.

Для интегрирования уравнений второго приближения (7) нужно задать начальные значения средних элементов  $X$  и  $Y$ . Эти значения определяются начальными значениями оскулирующих элементов и вычисляются по формулам замены переменных (Микрюков, 2018). Рассмотрим вопрос о получении начальных значений оскулирующих элементов.

Координаты Пуанкаре

$$\mathbf{r}_s, \quad 1 \leq s \leq N, \quad (23)$$

которые мы задали каноническим преобразованием (1), часто называют астроцентрическими координатами. Хотя такая терминология, очевидно, имеет право на существование (векторы (23) представляют собой астроцентрические положения планет), в контексте планетной задачи она может приводить к путанице, связанной с определением оскулирующих элементов. В самом деле, когда говорят об оскулирующих элементах планеты  $Q_s$  ( $1 \leq s \leq N$ ) в астроцентрической системе координат, обычно имеются в виду элементы, определяемые по ее астроцентрическому положению  $\mathbf{r}_s$  и астроцентрической скорости  $\dot{\mathbf{r}}_s$ . В случае же наших уравнений (5) оскулирующие элементы определяются вектором положения  $\mathbf{r}_s$  и вектором скорости  $\mathbf{p}_s/\beta_s$ , коллинеарным с вектором барицентрической скорости планеты  $Q_s$ . Ясно, что элементы, соответствующие векторам  $\mathbf{r}_s, \dot{\mathbf{r}}_s$ , отличаются от элементов, отвечающих векторам  $\mathbf{r}_s, \mathbf{p}_s/\beta_s$ . Чтобы указанные наборы элементов можно было различать, элементы, соответствующие векторам  $\mathbf{r}_s$  и  $\dot{\mathbf{r}}_s$ , будем называть элементами планеты в системе астроцентрических координат, а элементы, определяемые векторами  $\mathbf{r}_s$  и  $\mathbf{p}_s/\beta_s$ , — элементами в системе координат Пуанкаре<sup>2</sup>.

За начальные значения оскулирующих элементов в системе HD 12661 примем элементы из работы (Родригес, Галлардо, 2005), данные на эпоху JD 2450314.22. Родригес и Галлардо (2005) ввиду отсутствия надежной информации об элементах  $i$  и  $\Omega$  рассматривают компланарный вариант системы HD 12661 и дают лишь элементы  $a, e, M, g$  для обеих планет. Чтобы получить пространственную конфигурацию, мы придали планетным орбитам в этой системе произвольным образом малые наклоны и задали произвольным образом линии узлов. Ли и Пил (2003) показывают, что если наклоны малы, то при любом положении линий узлов качественное поведение орбитальных характеристик планетной системы сохраняется и совпадает с поведением ее компланарного варианта. Данные Родригесом и Галлардо (2005) элементы  $a, e, M, g$  в совокупности с нашими  $i$  и  $\Omega$  отнесены к астроцентрической системе координат, мы приводим их во втором столбце табл. 2. Начальные значения оскулирующих элементов для системы СВЗ мы взяли из ежегодника (Кочетова и др., 2019). Эти значения даны на эпоху JD 2459000.5 и также отнесены к астроцентрической системе координат (см. табл. 3, второй столбец).

Для того чтобы от оскулирующих элементов в системе астроцентрических координат перейти к оскулирующим элементам в системе координат

<sup>2</sup>Пытаясь, таким образом, сохранить симметрию с термином “элементы в системе координат Якоби”.

**Таблица 2.** Начальные значения оскулирующих элементов в двухпланетной системе HD 12661

Элементы	Астроцентрические координаты	Координаты Пуанкаре
$a_1$ (а.е.)	0.821	0.8199359295
$e_1$	0.34	0.3415768806
$i_1$	$0.5^\circ$	$0.5000040708^\circ$
$M_1$	$136.7^\circ$	$136.7880869907^\circ$
$g_1$	$290.6^\circ$	$290.4720779851^\circ$
$\Omega_1$	$6.0^\circ$	$6.0098334270^\circ$
$a_2$ (а.е.)	2.855	2.8386768580
$e_2$	0.066	0.0606236383
$i_2$	$1.5^\circ$	$1.4999334376^\circ$
$M_2$	$0.7^\circ$	$359.9218569780^\circ$
$g_2$	$94.1^\circ$	$94.9593261811^\circ$
$\Omega_2$	$8.0^\circ$	$8.0297475760^\circ$

**Таблица 3.** Начальные значения оскулирующих элементов в двухпланетной системе СВЗ

Элементы	Астроцентрические координаты	Координаты Пуанкаре
$a_1$ (а.е.)	0.7233420	0.7233383308
$e_1$	0.0067521	0.0067543698
$i_1$	$3.39459^\circ$	$3.3945984941^\circ$
$M_1$	$115.03086^\circ$	$115.0694946641^\circ$
$g_1$	$55.01074^\circ$	$54.9721184741^\circ$
$\Omega_1$	$76.62393^\circ$	$76.6239066120^\circ$
$a_2$ (а.е.)	1.0000015	0.9999958536
$e_2$	0.0167255	0.0167301985
$i_2$	$0.00266^\circ$	$0.0026629847^\circ$
$M_2$	$145.72710^\circ$	$145.7383169383^\circ$
$g_2$	$285.46174^\circ$	$285.2510110147^\circ$
$\Omega_2$	$177.48660^\circ$	$177.6861263815^\circ$

Пуанкаре, нужно найти связь между векторами  $\mathbf{r}_s$  и  $\mathbf{p}_s$ . Эту связь можно получить, выполняя дифференцирование в первой группе уравнений (4). Согласно (2) и (3), получаем

$$\dot{\mathbf{r}}_s = \frac{\partial h}{\partial \mathbf{p}_s} = \frac{\mathbf{p}_s}{m_s} + \frac{\mu}{m_0} \sum_{k=1}^N \mathbf{p}_k, \quad 1 \leq s \leq N.$$

Отсюда для  $N = 2$  находим

$$\mathbf{p}_1 = \frac{m_1 m_2}{m_0 + \mu m_1 + \mu m_2} \left( \frac{m_0 + \mu m_2}{m_2} \dot{\mathbf{r}}_1 - \mu \dot{\mathbf{r}}_2 \right), \tag{24}$$

$$\mathbf{p}_2 = \frac{m_1 m_2}{m_0 + \mu m_1 + \mu m_2} \left( -\mu \dot{\mathbf{r}}_1 + \frac{m_0 + \mu m_1}{m_1} \dot{\mathbf{r}}_2 \right).$$

Итак, сначала по элементам планеты  $\mathcal{Q}_s$  в астроцентрических координатах находятся векторы  $\mathbf{r}_s$ ,  $\dot{\mathbf{r}}_s$ . Затем по этим векторам с помощью (24) получаются векторы  $\mathbf{r}_s$ ,  $\mathbf{p}_s$  (вектор  $\mathbf{r}_s$  не изменяется). Элементы в системе координат Пуанкаре восстанавливаются в итоге по вектору положения  $\mathbf{r}_s$  и вектору  $\mathbf{p}_s/\beta_s$ , выступающему в роли скорости. Вычисленные начальные значения оскулирующих элементов в системе координат Пуанкаре приведены в последних столбцах табл. 2 и 3. По этим значениям с помощью формул перехода от оскулирующих элементов к средним находятся, наконец, начальные значения переменных уравнений (7).

Как и в работе Микрюкова (2020) разложение  $H_1$  мы ограничили десятой степенью по совокупности элементов  $X, \bar{X}, Y, \bar{Y}$ . Разложение  $H_2$  мы построили лишь до второй степени. Таким образом, полученные нами производные  $\partial H_2/\partial \bar{X}$  и  $\partial H_2/\partial \bar{Y}$  представляют собой поправки к линейным членам, дающимися производными  $\partial H_1/\partial \bar{X}$  и  $\partial H_1/\partial \bar{Y}$ . На основании табл. 7 работы Микрюкова (2020) заключаем, что разложения  $H_1$  и  $H_2$  содержат соответственно 2446 и 9 слагаемых. Для получения  $H_2$  мы использовали разложение  $h_1$ , ограниченное условиями

$$\sum_{k=1}^4 (\ell_k + \nu_k) \leq 3 \quad \text{и} \quad |n_1|, |n_2| \leq 9$$

(см. формулы (12) и (13)). Согласно анализу, выполненному в предыдущем разделе, разложение  $h_1$  нужно было ограничить третьей степенью (включительно) по совокупности параметров  $X, \bar{X}, Y, \bar{Y}$ .

Интегрирование осредненных уравнений (7) проводилось, как и в работе Микрюкова (2020), с помощью реализованного на языке C++ явного одношагового семистадийного метода Рунге–Кутты шестого порядка точности. Пуассоновские разложения величин  $H_1$  и  $H_2$  строились в системе компьютерной алгебры Maxima.

### Интегратор REX

Сравнение решений уравнений первого и второго приближения важно выполнить, так как оно показывает, насколько существенным оказывается вклад производных  $\partial H_2/\partial \bar{X}$  и  $\partial H_2/\partial \bar{Y}$  в осредненное решение. Это относится и к случаю резонансных, и к случаю нерезонансных систем (имеются в виду резонансы средних движений).

Также значительный интерес представляет сравнение осредненного решения с решением точных уравнений движения в обычных прямоугольных координатах. Анализ этого сравнения должен показать, насколько точно построенная осредненная теория воспроизводит истинное поведение системы. В настоящей работе для выполнения данного сравнения мы использовали интегратор REX (Research + EXoplanet), реализованный нами на языке общего назначения C и предназначенный для численного решения систем обыкновенных дифференциальных уравнений. Интегратор REX разработан на основе используемого в работе Баляева (2020) варианта интегратора Эверхарта и применяется в основном для интегрирования ньютоновской задачи многих тел в декартовых координатах. Особенностью интегратора REX является произвольная точность, что достигается с помощью инструментов библиотеки gmp (GNU Multi-Precision Library). Хотя такой подход значительно увеличивает время вычислений, он позволяет преодолеть ограничения, связанные с погрешностями машинного округления и численного интегрирования. Программный комплекс REX также включает в себя программы преобразования координат, в том числе из элементов орбит в декартовы координаты. Таким образом, начальные данные могут без потери точности задаваться набором элементов орбит. Интегрирование проводится с постоянным шагом. На шаге используется разбиение Гаусса–Лобатто. Контроль точности осуществляется параллельным интегрированием с вдвое большим шагом. В случае интегрирования экзопланетной системы для первичной оценки времени вычислений достаточно знать наименьший период обращения: интегрирование на  $10^6$  оборотов с наименьшим периодом обычно проводится за несколько дней.

Интегратор REX строит решение обычных уравнений в прямоугольных координатах, так что его применение служит хорошим контролем достоверности полученных в настоящей работе результатов.

### Система HD 12661

Интегрирование для системы HD 12661 мы выполнили на  $3 \times 10^5$  лет вперед. На рис. 1 и 2

изображена полученная эволюция элементов  $e$  и  $i$ . Красная и синяя линии обозначают выраженное в кеплеровых элементах решение системы первого и второго приближения соответственно. Таким образом, этими линиями обозначена эволюция средних  $e$  и  $i$ , отнесенных к системе координат Пуанкаре. Зеленая линия — построенная с помощью REX эволюция оскулирующих  $e$  и  $i$  в астроцентрических координатах. Линии наносились в следующем порядке: зеленая, красная, синяя<sup>3</sup>.

Уравнения первого и второго приближения дают период колебаний эксцентриситетов, равный примерно 26 391 и 26 309 лет соответственно. Период колебаний  $e$ , который дает REX, мы оценили приблизительно в 26 175 лет (рис. 1). Родригес и Галлардо (2005), аналогично построив с помощью интегратора MERCURY точное решение и применив спектральный анализ, получили период колебаний  $e$  в этой системе, равный 26 150 лет. Как видим, период изменения  $e$ , который дают уравнения второго приближения (7), гораздо лучше соответствует истинному значению периода эксцентриситетов, чем период  $e$ , определяемый системой первого приближения.

Согласно графикам, изображенным на рис. 2, поведение наклонов в этой системе имеет более сложный характер. Наклоны также совершают колебания в противофазе, но вопрос об их граничных значениях остается неясным. Тем не менее в случае наклонов также очевидно, что второе приближение лучше согласуется с решением точных уравнений.

В табл. 4 мы приводим для ориентировки и сравнения коэффициенты (с одинаковыми нижними индексами) разложений  $H_1$  и  $H_2$ , построенных для системы HD 12661.

### Модельная двухпланетная система СВЗ

На рис. 3 и 4 показана эволюция элементов  $e$  и  $i$  в модельной системе СВЗ. Смысл цветовых обозначений соответствует рассмотренному случаю системы HD 12661 (линии рисовались в том же порядке). Интегрирование выполнялось на  $2 \times 10^6$  лет вперед.

В случае системы СВЗ при переходе от уравнений первого к уравнениям второго приближения период колебаний  $e$  также уменьшается (рис. 3). Однако в отличие от HD 12661 теперь переход ко второму приближению приводит к практически полному согласованию точного и осредненного решений (на рассматриваемых  $2 \times 10^6$  лет).

<sup>3</sup>Цветные версии всех представленных в работе рисунков доступны в онлайн-версии журнала.

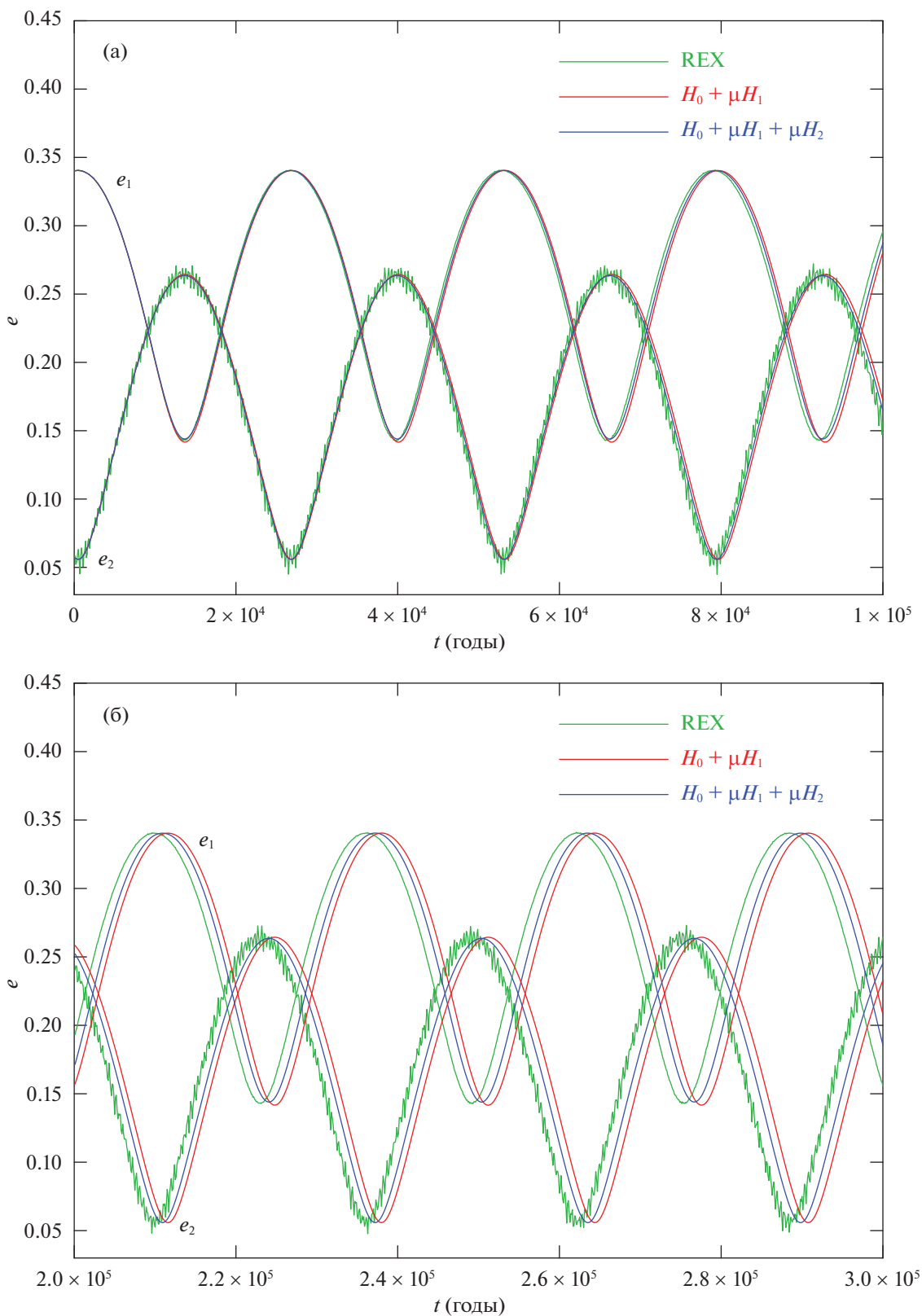
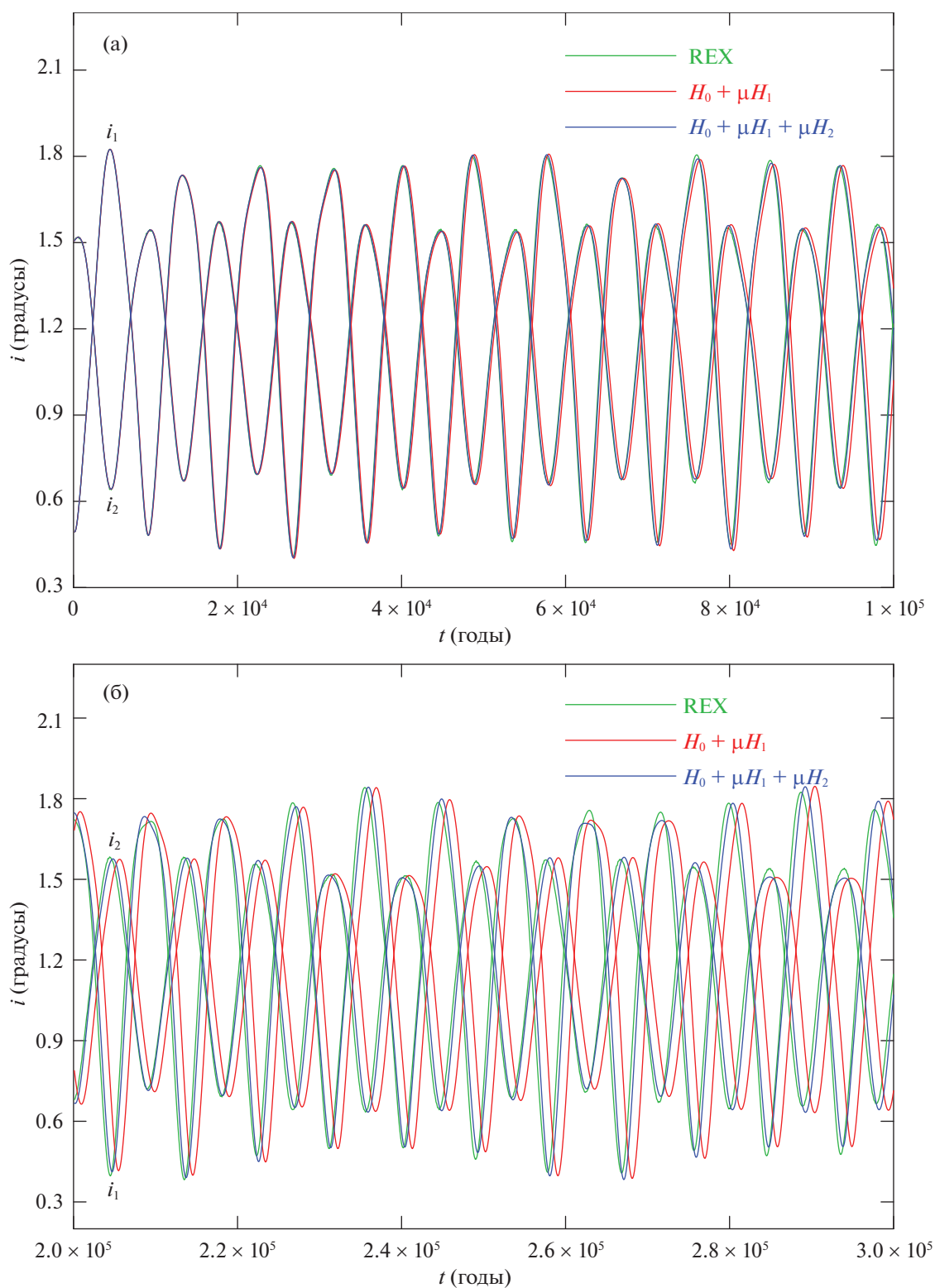
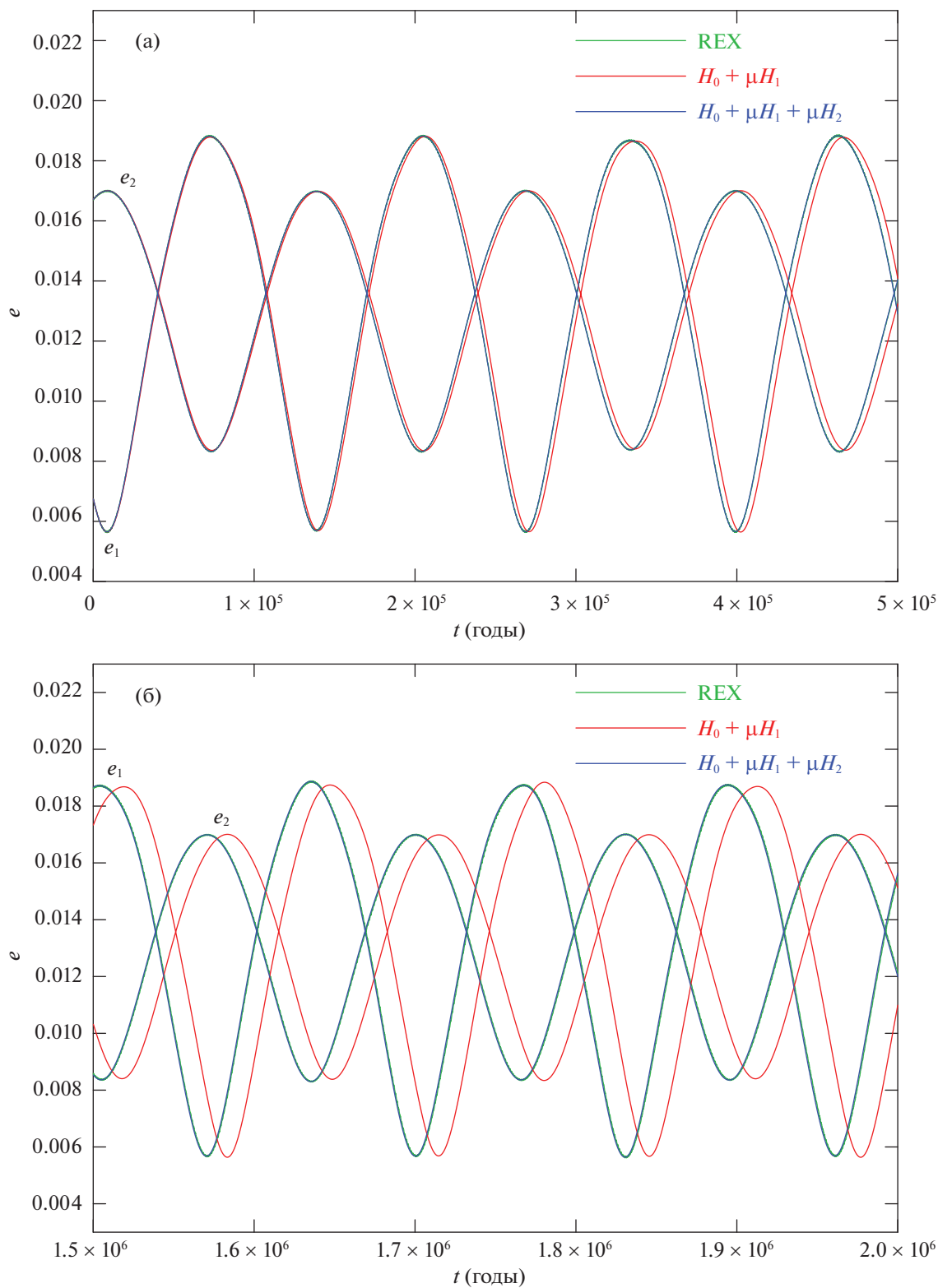


Рис. 1. Эволюция эксцентриситетов в системе HD 12661 на интервале времени  $3 \times 10^5$  лет. Изображены первая (а) и последняя (б) трети этого интервала.

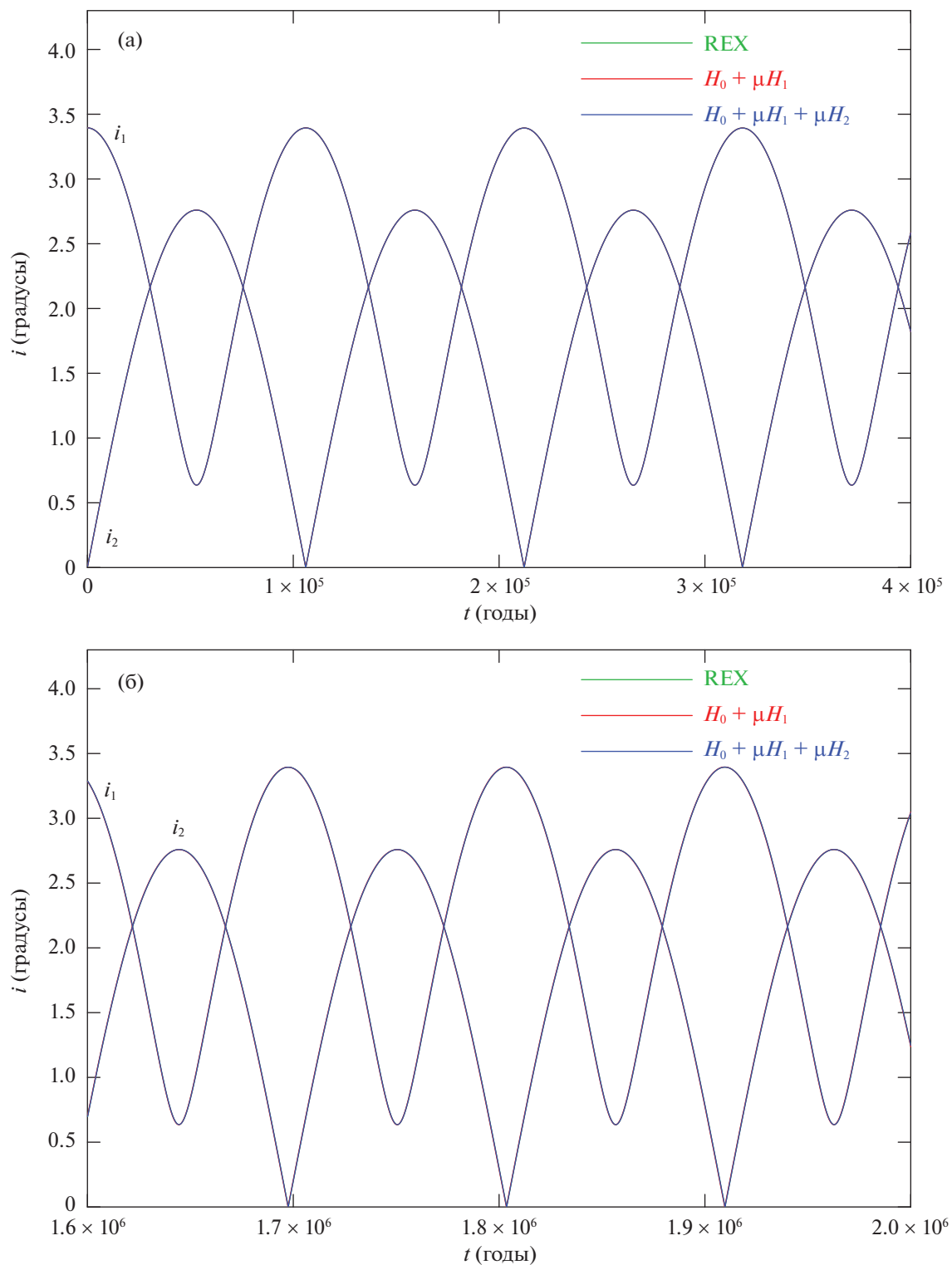




**Рис. 2.** Эволюция наклонов в системе HD 12661 на интервале времени  $3 \times 10^5$  лет. Изображены первая (а) и последняя (б) трети этого интервала.



**Рис. 3.** Эволюция эксцентриситетов в модельной системе СВЗ на интервале времени  $2 \times 10^6$  лет. Изображены первая (а) и последняя (б) четверти этого интервала. Второе приближение хорошо согласуется с решением точных уравнений.



**Рис. 4.** Эволюция наклонов в модельной системе СВЗ на интервале времени  $2 \times 10^6$  лет. Изображены начальные (а) и конечные  $4 \times 10^5$  лет (б) этого интервала. Все три метода дают для наклонов практически один и тот же результат.

**Таблица 4.** Система HD 12661. Разложение  $H_1$  и  $H_2$  до второй степени включительно (см. формулу (14)). Коэффициенты  $Z_{\ell v}^{(1)}$  и  $Z_{\ell v}^{(2)}$  имеют размерность энергии

$\ell_1$	$\ell_2$	$\ell_3$	$\ell_4$	$v_1$	$v_2$	$v_3$	$v_4$	$Z_{\ell v}^{(1)}$	$Z_{\ell v}^{(2)}$
0	0	0	0	0	0	0	0	$-1.280429255392898 \times 10^{+1}$	$-1.170437994297547 \times 10^{+1}$
1	0	0	0	1	0	0	0	$-4.647478519548778 \times 10^{-1}$	$-1.836085626527677 \times 10^{+0}$
0	1	0	0	0	1	0	0	$-4.647478519548778 \times 10^{-1}$	$-4.885059809599514 \times 10^{-1}$
1	0	0	0	0	1	0	0	$1.664653330731684 \times 10^{-1}$	$1.834070370869245 \times 10^{-1}$
0	1	0	0	1	0	0	0	$1.664653330731684 \times 10^{-1}$	$1.834070370869192 \times 10^{-1}$
0	0	1	0	0	0	1	0	$1.858991407819511 \times 10^{+0}$	$3.653641895367278 \times 10^{+0}$
0	0	0	1	0	0	0	1	$1.858991407819511 \times 10^{+0}$	$3.653641895367280 \times 10^{+0}$
0	0	1	0	0	0	0	1	$-1.858991407819511 \times 10^{+0}$	$-3.653641895367251 \times 10^{+0}$
0	0	0	1	0	0	1	0	$-1.858991407819511 \times 10^{+0}$	$-3.653641895367251 \times 10^{+0}$

**Таблица 5.** Система СВЗ. Разложение  $H_1$  и  $H_2$  до второй степени включительно, см. формулу (14). Коэффициенты  $Z_{\ell v}^{(1)}$  и  $Z_{\ell v}^{(2)}$  имеют размерность энергии

$\ell_1$	$\ell_2$	$\ell_3$	$\ell_4$	$v_1$	$v_2$	$v_3$	$v_4$	$Z_{\ell v}^{(1)}$	$Z_{\ell v}^{(2)}$
0	0	0	0	0	0	0	0	$-3.792418772564527 \times 10^1$	$1.565541269173967 \times 10^1$
1	0	0	0	1	0	0	0	$-2.549475352840062 \times 10^1$	$-4.645023695772291 \times 10^4$
0	1	0	0	0	1	0	0	$-2.549475352840062 \times 10^1$	$-7.468783347688307 \times 10^4$
1	0	0	0	0	1	0	0	$2.122747589102033 \times 10^1$	$5.823784070278836 \times 10^4$
0	1	0	0	1	0	0	0	$2.122747589102033 \times 10^1$	$5.823784070278838 \times 10^4$
0	0	1	0	0	0	1	0	$1.019790141136024 \times 10^2$	$-2.384419776970157 \times 10^3$
0	0	0	1	0	0	0	1	$1.019790141136024 \times 10^2$	$-2.384419776970157 \times 10^3$
0	0	1	0	0	0	0	1	$-1.019790141136024 \times 10^2$	$2.384419776970508 \times 10^3$
0	0	0	1	0	0	1	0	$-1.019790141136024 \times 10^2$	$2.384419776970508 \times 10^3$

Относительно наклонений наблюдается хорошее согласование всех трех способов получения долговременной эволюции (рис. 4). Период колебаний  $i$  равен приблизительно 106 100 годам.

Коэффициенты разложений  $H_1$  и  $H_2$  приведены в табл. 5.

### ОБСУЖДЕНИЕ РЕЗУЛЬТАТОВ

1. Анализ табл. 4 и 5 показывает, что в случае системы СВЗ коэффициенты разложения  $H_2$  больше значений коэффициентов  $H_1$  на два-три порядка, хотя коэффициенты разложений  $H_1$  и

$H_2$ , соответствующие системе HD 12661, имеют приблизительно один и тот же порядок. Эта разница связана с тем, что в системе HD 12661 отношение больших полуосей значительно меньше, чем в системе СВЗ. В табл. 6 мы приводим для ориентировки величины коэффициентов Лапласа, которые использовались для составления осредненных уравнений (7). Напомним, что среди всех пар соседних орбит в Солнечной системе (речь идет об основных восьми планетах) пара Венера–Земля имеет наибольшее отношение больших полуосей.

2. На основании рис. 1 и 3, а также табл. 7, в которой приведены основные полученные периоды

колебаний, можно сделать вывод, что период колебаний эксцентриситетов уменьшается при переходе от первого ко второму приближению. Можно ли привести пример двухпланетной системы, в которой второе приближение дает большее значение периода колебаний  $e_1$  и  $e_2$ , нежели первое? Пока этот вопрос остается открытым. Интересным также является то, что по сравнению с СВЗ в системе HD 12661 второе приближение заметно хуже согласуется с решением точных уравнений. Скорее всего, это связано с тем, что в системе HD 12661 орбиты более вытянуты, и что в ней значение параметра  $\mu$  существенно больше (на три порядка), чем в системе СВЗ. Учет большего числа членов в разложении  $H_2$ , а также расчет третьего приближения должны дать большее соответствие точного и осредненного решений.

3. Для составления и решения уравнений второго приближения (7) мы использовали только первые девять слагаемых из разложения  $H_2$  (табл. 4 и 5, последние столбцы). Более детальное и точное сравнение систем первого и второго приближения, а также сравнение решения осредненных уравнений с решением точных уравнений в прямоугольных координатах требуют разложения  $H_2$  до более высокой степени. Например, Либер и Сансоттера (2013) при исследовании эволюции системы  $v$  Andromedae (двухпланетное приближение, состоящее из планет с и d) приводят разложение осредненного гамильтониана до шестой степени включительно по совокупности эксцентрисических элементов. (Либер и Сансоттера (2013) рассматривали компланарный вариант орбит в системе  $v$  Andromedae, так что облических элементов в их исследовании не возникало.) С помощью табл. 7 работы Микрюкова (2020) заключаем, что разложение  $H_2$  до шестой степени содержит 261 слагаемое. Отметим, что хотя в разложении  $H_2$  мы учли лишь первые девять слагаемых, учет этих (наиболее важных) слагаемых, как показывают изображенные в предыдущем разделе графики, значительным образом улучшил соответствие точного и осредненного решений<sup>4</sup>. Вопрос о выборе количества учитываемых членов в разложении  $H_2$  рассматривается также в работе Холшевникова и др. (2002).

4. С помощью формул замены переменных (Микрюков, 2018) можно изучить поведение оскулирующих элементов, определяемое построенным численно-аналитическим методом. В частности, можно получить оценки короткопериодических возмущений оскулирующих эксцентриситетов и наклонов. Полученное таким способом решение

<sup>4</sup>Строго говоря, из полученных нами девяти членов разложения  $H_2$  на эволюцию переменных  $X$  и  $Y$  влияют лишь восемь, так как свободный член  $Z_{0000\ 0000}^{(2)}$  участия, очевидно, не принимает в образовании правых частей (7).

в оскулирующих элементах можно затем сравнить с решением точных уравнений планетного движения (например, снова с помощью интегратора REX). При этом сравнении важно понимать, что если оскулирующее решение, дающееся точными уравнениями, отнесено к системе астрочентрических координат (что наиболее естественно), то оскулирующее решение, вычисленное по осредненному с помощью формул замены переменных, должно быть также переведено в систему астрочентрических координат. Указанное сравнение послужит хорошим контролем достоверности и точности формул замены переменных, а также всего построенного численно-аналитического метода. Задача получения оскулирующего решения по осредненному имеет большое практическое значение и в наших следующих работах мы этой задаче безусловно уделим внимание.

5. В настоящем исследовании нами рассматривались такие планетные системы, в долговременной орбитальной динамике которых резонансы средних движений не играют существенной роли. В самом деле, при переходе от первого ко второму приближению соответствие точного и осредненного решений становилось во всех случаях очевидно лучше, хотя построенные нами коэффициенты  $H_0$ ,  $H_1$ ,  $H_2$  разложения осредненного гамильтониана (8) зависели только от медленных переменных. Для удовлетворительного описания орбитальной динамики резонансных систем необходимо дополнительно включить в разложение осредненного гамильтониана  $H$  резонансные комбинации средних движений. Изучение долговременной эволюции таких планетных конфигураций входит в ближайшие планы авторов настоящей работы.

6. Безусловно, рассмотренная нами двухпланетная система СВЗ является примером сугубо модельным и имеющим весьма далекое отношение к поведению Венеры и Земли в реальной Солнечной системе. Однако, как уже было отмечено в работе Микрюкова (2020), этот пример указывает на теоретически возможное существование таких устойчивых планетарных систем, которые образованы только планетами земного типа. Этот факт представляет значительный интерес с точки зрения вопросов астробиологии и терраформирования. Но он также важен и с точки зрения небесной механики, поскольку было бы ошибочным предполагать, что при столь малом значении  $\mu \sim 10^{-6}$  планетная система не может показывать сколько-нибудь интересной динамики (характерное для землеподобных планет значение  $\mu \sim 10^{-6}$  существенно меньше хорошо изученного случая планет-гигантов  $\mu \gtrsim 10^{-3}$ ). Ярким примером здесь может служить недавно открытая (Картер и др., 2012) двухпланетная система Kepler-36, в которой около звезды солнечной массы по околокруговым

**Таблица 6.** Численные значения коэффициентов Лапласа, использованные для получения разложения правых частей осредненной системы (7)

Коэффициенты Лапласа	Система HD 12661, $\alpha = 0.28966796765545$	Модельная двупланетная система, $\alpha = 0.72332928635925$
$b_{1/2}^{(0)}$	2.04405723394687	2.38636938287722
$b_{1/2}^{(1)}$	0.29929176928246	0.94240697216200
$b_{3/2}^{(0)}$	2.43340886384816	9.99233279018946
$b_{3/2}^{(1)}$	1.02450568760861	8.87148128101114
$b_{5/2}^{(0)}$	3.37863281812190	85.7700193425058
$b_{5/2}^{(1)}$	2.12090536586398	83.4011658301125
$b_{7/2}^{(0)}$	5.24216201870723	893.125714736053
$b_{7/2}^{(1)}$	3.97590747410957	881.095089125255
$b_{9/2}^{(0)}$	8.73102097060679	9989.18477781155
$b_{9/2}^{(1)}$	7.28671762200818	9900.36855767005
$b_{11/2}^{(0)}$	15.1889765894544	115932.302389711
$b_{11/2}^{(1)}$	13.3470490590445	115161.594285413

**Примечание.** Здесь  $\alpha = a_1/a_2$ , где  $a_1$  и  $a_2$  — средние большие полуоси, которые вычисляются с помощью формул замены переменных по начальным значениям оскулирующих больших полуосей, отнесенных к системе координат Пуанкаре (табл. 2 и 3, последние столбцы). Каждый коэффициент Лапласа  $b_s^{(k)}$  — функция от  $\alpha$ . Подробности см. в (Микрюков, 2018, 2020).

**Таблица 7.** Периоды (в годах), рассчитанные с помощью решения точных уравнений ( $T_{\text{REX}}$ ), уравнений второго приближения ( $T_{\text{II}}$ ) и уравнений первого приближения ( $T_{\text{I}}$ )

Параметры	$T_{\text{REX}}$	$T_{\text{II}}$	$T_{\text{I}}$	$\frac{ T_{\text{I}} - T_{\text{REX}} }{T_{\text{REX}}} \times 100\%$	$\frac{ T_{\text{II}} - T_{\text{REX}} }{T_{\text{REX}}} \times 100\%$
HD 12661, эксцентриситеты (рис. 1)	26 175	26 309	26 391	0.825%	0.512%
СВЗ, эксцентриситеты (рис. 3)	130 150	130 140	131 220	0.822%	0.008%
СВЗ, наклоны (рис. 4)	106 105	106 094	106 088	0.016%	0.010%

и почти компланарным орбитам обращаются суперземля Kepler-36b и мининептун Kepler-36c. Для данной системы  $\mu \sim 10^{-5}$ , так как планеты Kepler-36b и Kepler-36c массивнее Земли примерно в четыре и семь раз соответственно. Данная система выделяется тем, что в ней отношение больших полуосей  $\alpha \approx 0.9$ , и что при столь близких орбитах средние плотности планет отличаются в восемь раз (внутренняя планета b плотнее). Предварительные оценки показывают (Дэк и др., 2012), что динамика этой системы должна иметь хаотический характер, приводящий к возможным столкновениям или выбросам планет уже на временах порядка 10 (земных) лет. Этот вывод относительно эволюции

данной планетной системы очевидно требует дальнейшего изучения, поскольку, согласно принципу устойчивости Четаева (1955), в природе могут наблюдаться, как правило, только устойчивые системы.

7. В число задач миссии недавно приступившего к работе космического телескопа “Джеймс Уэбб” входит поиск экзопланет с характеристиками, близкими к Земле. Ожидается, что мощность телескопа окажется достаточной даже для открытий экзоспутников, обращающихся около экзопланет. В ближайшие десятилетия, как в космосе, так и на Земле, будут постепенно вводиться в строй новые и более мощные инструменты, на которых

станет возможным открывать все более мелкие экзопланеты. Сделанные всеми этими инструментами открытия будут необратимо расширять наше представление о природе экзопланетных миров. Таким образом, в заключение нашего исследования можно сделать вывод, что в будущем актуальность изучения экзопланетных систем, состоящих или содержащих землеподобные планеты, будет только возрастать.

Авторы выражают благодарность К.В. Холшевникову (1939–2021) за постановку задачи, а также Л.Л. Соколову за помощь в проведении численных расчетов. Все вычисления в работе проводились с помощью оборудования вычислительного центра научного парка СПбГУ. Работа выполнена при финансовой поддержке РФФИ (грант 19-72-10023).

#### СПИСОК ЛИТЕРАТУРЫ

1. Баляев И.А., *Астрон. вестник* **54**, 567 (2020) [I.A. Balyaev, *Solar Syst. Res.* **54**, 557 (2020)].
2. Депри (A. Deprit), *Celest. Mech.* **1**, 12 (1969).
3. Джакалья Г.Е.О., *Методы теории возмущений для нелинейных систем* (М.: Наука, 1979).
4. Дэк и др. (K.M. Deck, M.J. Holman, E. Agol, J.A. Carter, J.J. Lissauer, D. Ragozzine and J.N. Winn), *Astrophys. J. Lett.* **755**, L21 (2012).
5. Картер и др. (J.A. Carter, E. Agol, W.J. Chaplin et al.), *Science* **337**, 556 (2012).
6. Кочетова О.М., Кузнецов В.Б., Медведев Ю.Д., Чернетенко Ю.А., Шор В.А., *Эфемериды малых планет на 2020 год* (СПб.: ИПА РАН, 2019).
7. Ласкар, Робютель (J. Laskar and P. Robutel), *Celest. Mech. Dynam. Astron.* **62**, 193 (1995).
8. Ли, Пил (M.H. Lee and S.J. Peale), *Astrophys. J.* **592**, 1201 (2003).
9. Либер, Сансоттера (A.-S. Libert and M. Sansottera), *Celest. Mech. Dynam. Astron.* **117**, 149 (2013).
10. Маркеев А.П., *Точки либрации в небесной механике и космодинамике* (М.: Наука, 1978).
11. Микрюков Д.В., *Письма в Астрон. журн.* **44**, 361 (2018) [D.V. Mikryukov, *Astron. Lett.* **44**, 337 (2018)].
12. Микрюков Д.В., *Письма в Астрон. журн.* **46**, 366 (2020) [D.V. Mikryukov, *Astron. Lett.* **46**, 344 (2020)].
13. Микрюков Д.В., Холшевников К.В., *Письма в Астрон. журн.* **42**, 302 (2016) [D.V. Mikryukov, K.V. Kholshchevnikov, *Astron. Lett.* **42**, 268 (2016)].
14. Морбиделли А., *Современная небесная механика. Аспекты динамики Солнечной системы* (М.: ИКИ, 2014).
15. Найфэ А.Х., *Методы возмущений* (М.: Мир, 1976).
16. Родригес, Галлардо (A. Rodríguez and T. Gallardo), *Astrophys. J.* **628**, 1006 (2005).
17. Холшевников К.В., *Асимптотические методы небесной механики* (Л.: ЛГУ, 1985).
18. Холшевников К.В., Греб А.В., Кузнецов Э.Д., *Астрон. вестник* **36**, 75 (2002) [K.V. Kholshchevnikov et al., *Solar System. Res.* **36**, 68 (2002)].
19. Хори (G.-I. Hori), *Publ. Astron. Soc. Jpn.* **18**, 287 (1966).
20. Четаев Н.Г., *Устойчивость движения* (М.: ГИТТЛ, 1955).